

# Introdução à Teoria de Poincaré-Bendixson para campos de vetores planares\*

Otávio Henrique Perez<sup>†</sup>

Tiago de Carvalho<sup>†</sup>

## Resumo

O Teorema de Poincaré-Bendixson é um resultado muito importante no estudo de Sistemas Dinâmicos, pois ele estabelece para quais tipos de conjunto limite as trajetórias de um campo de vetores em  $\mathbb{R}^2$  deve convergir. Neste trabalho vamos abordar a Função do Primeiro Retorno de Poincaré, além de discutir a estabilidade de Ciclos Limites e provar o Teorema de Poincaré-Bendixson.

**Palavras Chave:** Sistemas de equações diferenciais ordinárias, campos de vetores, retratos de fase, conjunto limite, Teorema de Poincaré-Bendixson.

## Introdução

Muitas vezes, ao nos depararmos com uma equação diferencial, não estamos interessados em sua solução numérica e sim em descobrir o comportamento do sistema a longo prazo. Com esta finalidade, temos que investigar o conjunto limite das trajetórias quando o tempo vai para infinito. O Teorema de Poincaré-Bendixson para campos vetoriais planares aqui exposto responde esta pergunta.

## 1 A Teoria de Poincaré-Bendixson em $\mathbb{R}^2$

Vamos introduzir algumas definições fundamentais para o entendimento da teoria que será discutida ao longo deste trabalho. Todas elas podem ser encontradas em [1].

**Definição 1.1** *Seja  $E$  um subconjunto aberto de  $\mathbb{R}^n$  e  $f \in C^1(E)$ . Para  $x_0 \in E$ , seja  $\phi(t, x_0)$  a solução do PVI*

$$\begin{cases} \dot{x} &= f(x) \\ x(0) &= 0, \end{cases} \quad (1.0.1)$$

*definida no intervalo maximal  $I(x_0) = (\alpha, \beta)$ . Nessas condições, para todo  $t \in I(x_0)$ , a função  $\phi_t : E \rightarrow E$ , definida por  $\phi_t(x_0) = \phi(t, x_0)$  é chamada de **fluxo da equação diferencial** ou **fluxo do campo de vetores**.*

---

\*Trabalho realizado durante estágio de iniciação científica financiado pela FAPESP (processo número 2013/09624-7)

<sup>†</sup>Emails: [otavio\\_perez@hotmail.com](mailto:otavio_perez@hotmail.com) e [tcarvalho@fc.unesp.br](mailto:tcarvalho@fc.unesp.br)

Considerando que o ponto  $x_0$  está fixo, a função  $\phi_t(x_0) : I \rightarrow E$  define a curva das soluções ou a trajetória do sistema de fluxo da equação diferencial passando pelo ponto  $x_0 \in E$ . A trajetória pode ser vista como a curva ao longo do movimento  $\tau$  sobre o ponto  $x_0$  no subconjunto  $E \subset \mathbb{R}^n$ , conforme a Figura 1.

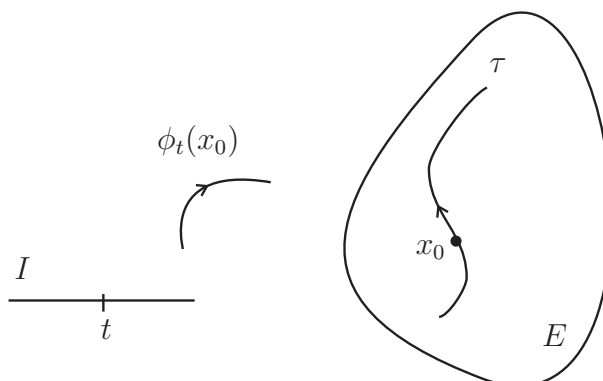


Figura 1: Trajetória

Se pensarmos no ponto  $x_0$  variando sobre  $K \subset E$ , o fluxo  $\phi_t : K \rightarrow E$  poderá ser visto como o movimento de todos os pontos no conjunto  $K$ , conforme a Figura 2.

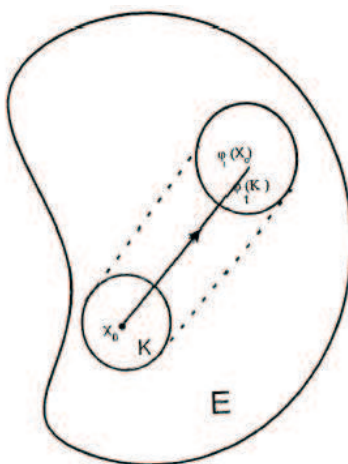


Figura 2: Movimento de todos os pontos do conjunto  $K$

Agora, considere o sistema autônomo

$$\dot{x} = f(x), \quad (1.0.2)$$

onde  $f \in C^1(E)$  e  $E \subset \mathbb{R}^n$  é um aberto. Para  $x \in E$ , a função  $\phi(\cdot, x) : \mathbb{R} \rightarrow E$  define a **trajetória** ou **órbita** de (1.0.2) que passa pelo ponto  $x$ . Podemos pensar na trajetória  $\phi(\cdot, x)$  que passa pelo ponto  $x_0 \in E$  como a curva do movimento ao longo do tempo  $t$ . Assim, temos que  $\Gamma_{x_0} = \{x \in E / x = \phi(t, x_0), t \in \mathbb{R}\}$  é a trajetória de (1.0.2) que passa pelo ponto  $x_0$  em  $t = 0$ . Denotaremos a trajetória simplesmente por  $\Gamma$ , que será um subconjunto do espaço de fase  $\mathbb{R}^n$ . Na Figura 3, as setas indicam o movimento da trajetória a medida que o tempo passa.

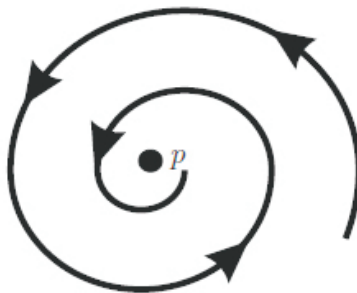


Figura 3: A trajetória  $\Gamma$  de (1.0.2) que tende ao  $\omega$ -limite

**Definição 1.2** A **trajetória positiva** de (1.0.2) que passa pelo ponto  $x_0 \in E$  é dada por  $\Gamma_{x_0}^+ = \{x \in E/x = \phi(t, x_0), t \geq 0\}$ . Analogamente, a **trajetória negativa** de (1.0.2) que passa pelo ponto  $x_0 \in E$  é dada por  $\Gamma_{x_0}^- = \{x \in E/x = \phi(t, x_0), t \leq 0\}$ .

Note que  $\Gamma_{x_0} = \Gamma_{x_0}^+ \cup \Gamma_{x_0}^-$ .

**Definição 1.3** Um ponto  $p \in E$  é um **ponto de  $\omega$ -limite** da trajetória  $\phi(t, x)$  do sistema (1.0.2) se existe uma sequência  $t_n \rightarrow +\infty$  tal que

$$\lim_{n \rightarrow \infty} \phi(t_n, x) = p.$$

Analogamente, dizemos que um ponto  $q \in E$  é um **ponto de  $\alpha$ -limite** da trajetória  $\phi(t, x)$  do sistema (1.0.2) se existe uma sequência  $t_n \rightarrow -\infty$  tal que

$$\lim_{n \rightarrow \infty} \phi(t_n, x) = q.$$

O conjunto de todos os pontos de  $\omega$ -limite da trajetória  $\phi(t, x)$  do sistema (1.0.2) é chamado de **conjunto  $\omega$ -limite de  $\Gamma$**  e é denotado por  $\omega(\Gamma)$ . Analogamente, o conjunto de todos os pontos de  $\alpha$ -limite da trajetória  $\phi(t, x)$  do sistema (1.0.2) é chamado de **conjunto  $\alpha$ -limite de  $\Gamma$**  e é denotado por  $\alpha(\Gamma)$ . O conjunto  $\alpha(\Gamma) \cup \omega(\Gamma)$  é chamado de **conjunto limite de  $\Gamma$** .

A seguir, vamos enunciar o Teorema do Fluxo Tubular, cuja demonstração está em [2]. A partir deste teorema, podemos perceber que a trajetória de pontos não singulares de um campo qualquer pode ser vista "simplificadamente" como as trajetórias de um campo constante, como mostra a Figura 4.

**Teorema 1.1 (Teorema do Fluxo Tubular):** Seja  $p$  um ponto não singular do campo  $X : \Delta \rightarrow \mathbb{R}^n$  de classe  $C^r$  e  $f : A \rightarrow \Sigma$  uma seção transversal local de  $X$  de classe  $C^r$  onde  $f(0) = p$ . Existe uma vizinhança  $V$  de  $p$  em  $\Delta$  e um difeomorfismo  $h : V \rightarrow (-\varepsilon, \varepsilon) \times B$  de classe  $C^r$  onde  $\varepsilon > 0$  e  $B$  é uma bola aberta do  $\mathbb{R}^{n-1}$  de centro na origem  $f^{-1}(p) = 0$  tal que

1.  $h(\Sigma \cap V) = \{0\} \times B$ ,
2.  $h$  é uma  $C^r$ -conjugação entre  $X|_V$  e o campo constante  $Y : (-\varepsilon, \varepsilon) \times B \rightarrow \mathbb{R}^n$ ,  $Y = (1, 0, \dots, 0) \in \mathbb{R}^n$ .

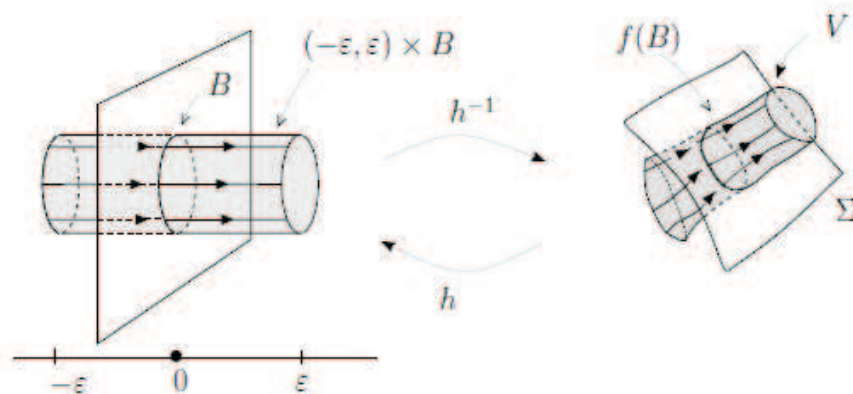


Figura 4: O Teorema do Fluxo Tubular

## 1.1 A Função de Poincaré

A **Função de Poincaré** ou **Função do Primeiro Retorno** é um resultado essencial no estudo de bifurcações e estabilidade de órbitas periódicas, cuja definição também pode ser encontrada tanto em [1] quanto em [2]. Seja  $\Gamma$  uma órbita periódica do sistema

$$\dot{x} = f(x), \quad (1.1.1)$$

que passa por  $x_0$  e  $\Sigma$  é o hiperplano perpendicular a  $\Gamma$  em  $x_0$ . Para todo ponto  $x \in \Sigma$  suficientemente próximo de  $x_0$ , a solução  $\phi_t(x)$  de (1.1.1) que passa por  $x$  em  $t_0$  interceptará  $\Sigma$  em um ponto  $P(x)$  próximo de  $x_0$  para  $t \neq 0$ . Chamamos a função  $x \mapsto P(x)$  de **Função do Primeiro Retorno de Poincaré**. Note que  $\Sigma$  é a seção transversal de  $\Gamma$  em  $x_0$ , isto é,  $\Sigma$  é uma superfície suave passando por  $x_0 \in \Gamma$  e que não é tangente a  $\Gamma$  em  $x_0$ , conforme mostra a Figura 5.

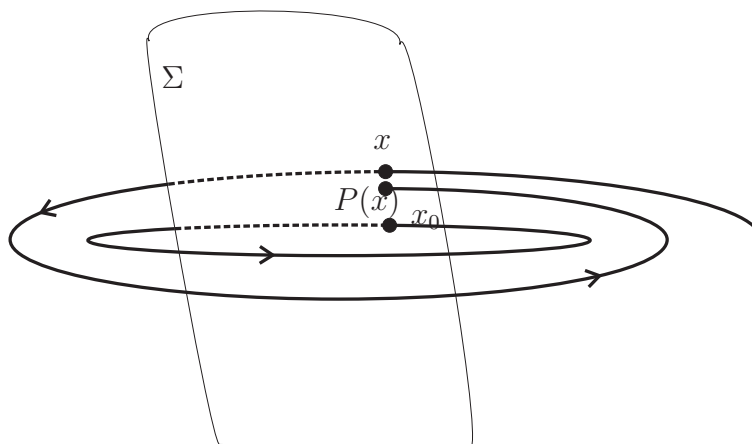


Figura 5: Função do Primeiro Retorno de Poincaré

A seguir veremos um resultado importante para provarmos a existência e a unicidade da Função de Poincaré  $P(x)$  e de sua derivada  $P'(x)$ .

**Teorema 1.2 (Teorema da Função Implícita)** *Seja  $E \subset \mathbb{R}^{n+m}$  um aberto e  $f \in C^1(E)$ . Suponhamos que  $(a, b) \in E$  é tal que  $f(a, b) = 0$  e  $\frac{\partial f}{\partial x}(a, b) \neq 0$ . Então, existe uma vizinhança  $N_\delta(b)$  ( $b \in \mathbb{R}^m$ ) e uma única função  $g \in C^1(N_\delta(b))$  tal que*

$g(b) = a$  e  $f(g(y), y) = 0$ , para todo  $y \in N_\delta(b)$ . Ou seja, a função  $g$  é definida implicitamente pela função  $f$ .

**Teorema 1.3** Seja  $E \subset \mathbb{R}^n$  um aberto e  $f \in C^1(E)$ . Suponhamos que  $\phi_t(x_0)$  é uma solução periódica de (1.1.1) de período  $T$  e que o ciclo  $\Gamma = \{x \in \mathbb{R}^n / x = \phi(t, x_0), 0 \leq t \leq T\}$  está contido em  $E$ . Seja  $\Sigma$  um hiperplano ortogonal à  $\Gamma$  em  $x_0$ , ou seja,

$$\Sigma = \{x \in \mathbb{R}^n / (x - x_0) \cdot f(x_0) = 0\}.$$

Existe  $\delta > 0$  e uma única função  $\tau(x) \in C^1(E)$  para  $x \in N_\delta(x_0)$  tal que  $\tau(x_0) = T$  e  $\phi(\tau(x), x) \in \Sigma$ , para todo  $x \in N_\delta(x_0)$ .

*Demonstração:* Seja  $x_0 \in \Gamma \cap \Sigma$ . Definimos a função

$$F(t, x) = [\phi(t, x) - x_0] \cdot f(x_0).$$

Como  $\phi \in C^1(\mathbb{R} \times E)$ , temos que  $F \in C^1(\mathbb{R} \times E)$ . Além disso, como  $\phi$  é periódica de período  $T$ , segue que  $F(T, x_0) = [\phi(T, x_0) - x_0] \cdot f(x_0) = (x_0 - x_0) \cdot f(x_0)$ . Dessa forma, obtemos

$$\frac{\partial F}{\partial t}(T, x_0) = \frac{\partial \phi(T, x_0)}{\partial t} \cdot f(x_0) = f(x_0) \cdot f(x_0) = |f(x_0)|^2 \neq 0,$$

pois  $x_0$  não é ponto de equilíbrio do sistema (1.1.1).

Segue do Teorema da Função Implícita que existe  $\delta > 0$  e uma única função  $\tau(x) \in C^1(N_\delta(x_0))$  tal que  $\tau(x_0) = T$  e  $F(\tau(x), x) = 0$ , para todo  $x \in N_\delta(x_0)$ . Consequentemente,  $\phi(\tau(x), x) \in \Sigma$ , para todo  $x \in N_\delta(x_0)$ .  $\square$

**Definição 1.4** Sejam  $\Gamma$ ,  $\Sigma$ ,  $\delta$  e  $\tau(x)$  definidos como no teorema acima. Para  $x \in N_\delta(x_0) \cap \Sigma$ , a função  $P(x) = \phi(\tau(x), x)$  é chamada de **Função de Poincaré** em  $x_0$ .

Note que recorre do Teorema anterior que  $P \in C^1(N_\delta(x_0) \cap \Sigma)$ .

**Exemplo 1.1** Vamos analisar o seguinte sistema proposto em [1]:

$$\begin{cases} \dot{x} &= -y + x(1 - x^2 - y^2) \\ \dot{y} &= x + y(1 - x^2 - y^2). \end{cases}$$

Fazendo a mudança para coordenadas polares ( $x = r \cos \theta$  e  $y = r \sin \theta$ ) e derivando o sistema em relação à  $r$ , obtemos

$$\begin{cases} \dot{r} \cos \theta &= -r \sin \theta + r \cos \theta (1 - r^2) \\ \dot{r} \sin \theta &= r \cos \theta + r \sin \theta (1 - r^2). \end{cases}$$

Multiplicando a primeira equação por  $\cos \theta$  e a segunda por  $\sin \theta$  e em seguida somando ambas, obtemos  $\dot{r} = r(1 - r^2)$ . Se derivarmos o sistema em relação à  $\theta$ , teremos  $\dot{\theta} = 1$  e, portanto,

$$\begin{cases} \dot{r} &= r(1 - r^2) \\ \dot{\theta} &= 1. \end{cases}$$

Note que

- Para  $r = 1$ , temos  $\dot{r} = 0$  e, portanto, o fluxo não repele e nem atrai.
- Para  $r > 1$ , temos  $\dot{r} < 0$  e, portanto, o fluxo é um foco atrator com raio decrescente.

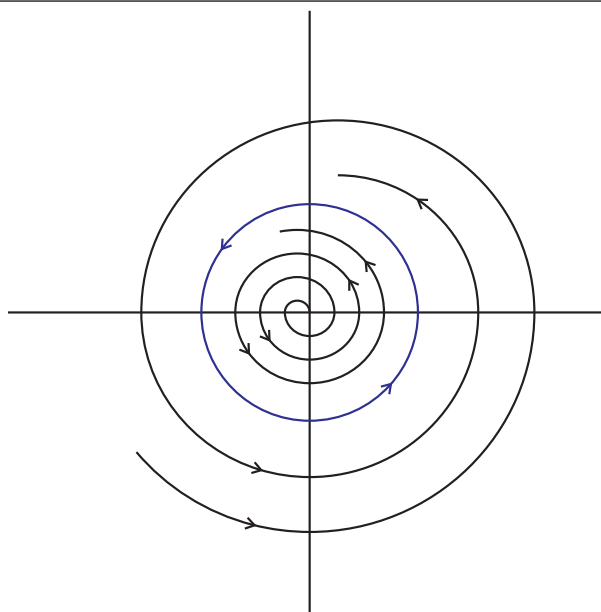


Figura 6: Retrato de Fase

- Para  $r < 1$ , temos  $\dot{r} > 0$  e, portanto, o fluxo é um foco repulsor com raio crescente.
- A origem é um ponto de equilíbrio do sistema e o fluxo é anti-horário.

A trajetória que passa pelo ponto  $(\cos \theta_0, \sin \theta_0)$  em  $t = 0$  no círculo unitário é dada por  $x(t) = (\cos(t + \theta_0), \sin(t + \theta_0))$ . Veja a Figura 6

A Função de Poincaré deste exemplo pode ser obtida encontrando as soluções do sistema que foi reescrito com coordenadas polares, ou seja, resolvendo o sistema

$$\begin{cases} \dot{r} = r(1 - r^2) \\ \dot{\theta} = 1, \end{cases}$$

com  $r(0) = r_0$  e  $\theta(0) = \theta_0$ .

Usando o método das equações diferenciais separáveis e aplicando a condição inicial, obtemos as seguintes soluções:

$$r(t, r_0) = \left[ 1 + \left( \frac{1}{r_0^2} - 1 \right) e^{-2t} \right]^{-\frac{1}{2}}$$

$$\theta(t, \theta_0) = t + \theta_0,$$

Se  $\Sigma$  é o raio que forma um ângulo  $\theta_0$  com o eixo  $x$ , segue que  $\Sigma$  é perpendicular a  $\Gamma$ , onde  $\Gamma$  é a trajetória que passa por  $(r_1, \theta_0) \in \Sigma \cap \Gamma$  em  $t = 0$ . Note que  $T = 2\pi$ .

A Função de Poincaré para este exemplo é dada por

$$\phi(\tau(x), x) = \phi(T, x) = P(r_0) = \left[ 1 + \left( \frac{1}{r_0^2} - 1 \right) e^{-4\pi} \right]^{-\frac{1}{2}},$$

e

$$P'(r_0) = \left[ 1 + \left( \frac{1}{r_0^2} - 1 \right) e^{-4\pi} \right]^{-\frac{3}{2}} e^{-4\pi} r_0^{-3}.$$

Como  $P'(1) = e^{-4\pi} < 1$ , temos que este ciclo limite é atrator, conforme a Figura 7.

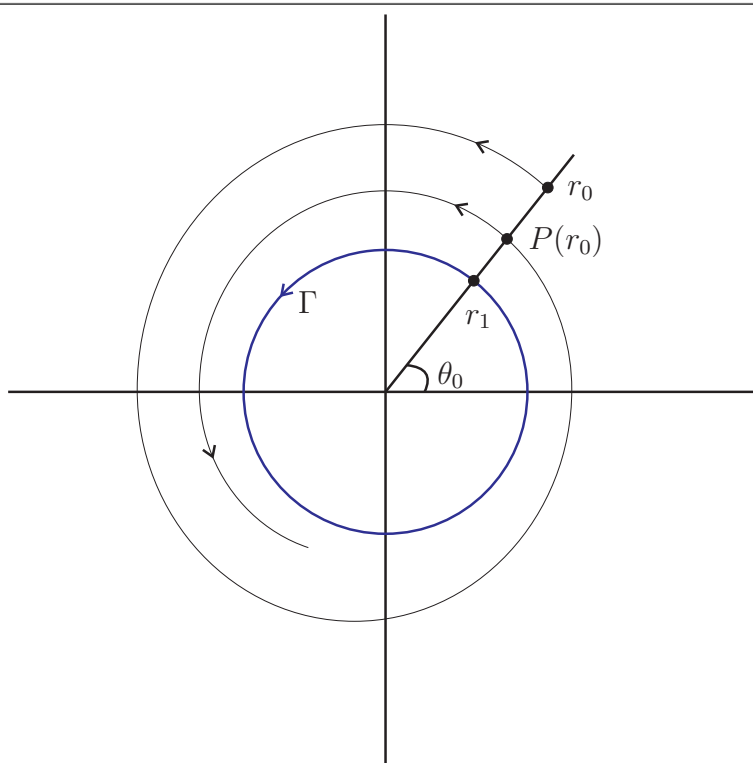


Figura 7: Função de Poincaré

**Teorema 1.4 (Teorema do Valor Médio de Lagrange)** Seja  $f : [a, b] \rightarrow \mathbb{R}$  uma função contínua. Se  $f$  é derivável em  $(a, b)$ , então existe  $c \in (a, b)$  tal que  $f'(c) = \frac{f(b) - f(a)}{b - a}$ .

**Definição 1.5** Uma **Curva de Jordan** é uma curva fechada e simples que separa o plano em duas regiões (uma limitada e outra ilimitada), sendo o traço da curva a fronteira comum entre as duas regiões. Sendo  $\Gamma$  uma curva fechada, segue que  $\Sigma$  é dividido em dois segmentos abertos  $\Sigma^+$  (localizado no exterior da curva) e  $\Sigma^-$  (localizado no interior da curva). Veja a Figura 8

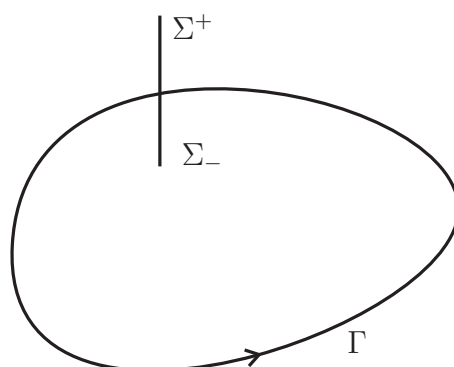


Figura 8: Curva de Jordan

**Observação 1.1** Seja  $s$  o sinal da distância ao longo de  $\Sigma$  ( $s > 0$  para pontos em  $\Sigma^+$  e  $s < 0$  para pontos em  $\Sigma^-$ ). Vamos classificar os ciclos limites a partir do sinal de  $P'(0) - 1$ , onde  $P(x)$  é a Função de Poincaré.

Considere a função distância dada por

$$d(s) = P(s) - s.$$

Segue que  $d(0) = 0$  e  $d'(s) = P'(s) - 1$ . Pelo Teorema do Valor Médio de Lagrange, para  $|s| < \delta$  existe  $\theta \in (0, s)$  tal que

$$d'(\theta) = \frac{d(s) - d(0)}{s - 0} = \frac{d(s)}{s} = \frac{P(s) - s}{s}$$

$$d(s) = d'(\theta)s.$$

Como  $d'(s)$  é contínua, temos que se  $d'(0) \neq 0$ , então  $d'(s)$  terá o mesmo sinal de  $d'(0)$  para  $|s|$  suficientemente pequeno.

Temos os seguintes casos:

- Se  $d(s) < 0$  para  $s > 0$ , então  $d'(0) < 0$  e o ciclo limite é atrator.
- Se  $d(s) > 0$  para  $s < 0$ , então  $d'(0) < 0$  e o ciclo limite é atrator.
- Se  $d(s) > 0$  para  $s > 0$ , então  $d'(0) > 0$  e o ciclo limite é repulsor.
- Se  $d(s) < 0$  para  $s < 0$ , então  $d'(0) > 0$  e o ciclo limite é repulsor.

Observe que se  $d'(s) > 0$ , então  $P'(s) > 1$ , e assim,  $\Gamma$  é repulsor. Analogamente, se  $d'(s) < 0$ , então  $P'(s) < 1$ , e assim,  $\Gamma$  é atrator.

**Definição 1.6** Uma matriz  $\phi(t)$  de ordem  $n \times n$  cujas colunas formam uma base do espaço de soluções do sistema  $\dot{x} = Ax$  chama-se **matriz fundamental** de  $\dot{x} = Ax$ .

**Observação 1.2** Vamos assumir que

$$\varphi'(t) = (\det \phi(t))' = \sum_{i=1}^n \det(\phi_1(t), \dots, \phi_i'(t), \dots, \phi_n(t)).$$

**Teorema 1.5 (Fórmula de Liouville)** Seja  $\phi(t)$  a matriz cujas colunas são soluções do sistema  $\dot{x} = Ax$ . Então, para todo  $t, t_0 \in I$  com  $t_0$  fixo e  $I \cap \mathbb{R}$  é um intervalo, vale

$$\det \phi(t) = \det[\phi(t_0)] \int_{t_0}^t \text{tr} A(s) ds.$$

Ideia da Demonstração: Vamos demonstrar para  $n = 2$ . Para tal, basta provarmos que  $\varphi(t) = \det \phi(t)$  é solução de  $\dot{x} = [\text{tr} A(t)]x$ . Assim, temos

$$\begin{aligned} \dot{x} &= [\text{tr} A(t)]x \Rightarrow \frac{dx}{dt} = [\text{tr} A(t)]x \Rightarrow \frac{dx}{x} = [\text{tr} A(t)]dt \Rightarrow \\ &\Rightarrow \int_{t_0}^t \frac{dx}{x} = \int_{t_0}^t [\text{tr} A(s)]ds \Rightarrow e^{\int_{t_0}^t \text{tr} A(s) ds} = \frac{|x(t)|}{|x(t_0)|}. \end{aligned}$$

Substituindo  $x$  por  $\phi_t$ , obtemos

$$|\det \phi_t| = |\det \phi_{t_0}| e^{\int_{t_0}^t \text{tr} A(s) ds}.$$

Denotando  $A(t) = \begin{pmatrix} \beta_{11}(t) & \beta_{12}(t) \\ \beta_{21}(t) & \beta_{22}(t) \end{pmatrix}$  e considerando a hipótese de que  $\dot{x} = [\text{tr} A(t)]x$ , segue que  $\dot{\phi}(t) = A(t)\phi(t)$ . Assim, temos

$$\begin{pmatrix} \phi_1'(t) \\ \phi_2'(t) \end{pmatrix} = \begin{pmatrix} \beta_{11}(t) & \beta_{12}(t) \\ \beta_{21}(t) & \beta_{22}(t) \end{pmatrix} \begin{pmatrix} \phi_1(t) \\ \phi_2(t) \end{pmatrix}$$

$$\begin{pmatrix} \phi_1'(t) \\ \phi_2'(t) \end{pmatrix} = \begin{pmatrix} \beta_{11}(t)\phi_1(t) + \beta_{12}(t)\phi_2(t) \\ \beta_{21}(t)\phi_1(t) + \beta_{22}(t)\phi_2(t) \end{pmatrix}.$$

Sabemos que  $\varphi'(t) = \det(\phi_1'(t), \phi_2(t)) + \det(\phi_1(t), \phi_2'(t))$ . Substituindo os valores de  $\phi_1'(t)$  e  $\phi_2'(t)$ , segue que

$$\varphi'(t) = \det(\beta_{11}(t)\phi_1(t) + \beta_{12}(t)\phi_2(t), \phi_2(t)) + \det(\phi_1(t), \beta_{21}(t)\phi_1(t) + \beta_{22}(t)\phi_2(t)).$$

Resolvendo na forma matricial,

$$\begin{aligned} \varphi'(t) &= \begin{vmatrix} \beta_{11}(t)\phi_1(t) + \beta_{12}(t)\phi_2(t) \\ \phi_2(t) \end{vmatrix} + \begin{vmatrix} \phi_1(t) \\ \beta_{21}(t)\phi_1(t) + \beta_{22}(t)\phi_2(t) \end{vmatrix} \\ \varphi'(t) &= \begin{vmatrix} \beta_{11}(t)\phi_1(t) \\ \phi_2(t) \end{vmatrix} + \begin{vmatrix} \beta_{12}(t)\phi_2(t) \\ \phi_2(t) \end{vmatrix} + \begin{vmatrix} \phi_1(t) \\ \beta_{21}(t)\phi_1(t) \end{vmatrix} + \begin{vmatrix} \phi_1(t) \\ \beta_{22}(t)\phi_2(t) \end{vmatrix} \\ \varphi'(t) &= \begin{vmatrix} \beta_{11}(t)\phi_1(t) \\ \phi_2(t) \end{vmatrix} + 0 + 0 + \begin{vmatrix} \phi_1(t) \\ \beta_{22}(t)\phi_2(t) \end{vmatrix} \end{aligned}$$

$$\varphi'(t) = \beta_{11}(t) \det \phi(t) + \beta_{22}(t) \det \phi(t) = (\beta_{11}(t) + \beta_{22}(t)) \det \phi(t) = \text{tr} A(t) \det \phi(t).$$

Para mostrar o caso geral, basta utilizarmos o mesmo raciocínio.  $\square$

## 1.2 Ciclos Limites no Plano

A seguir, vamos introduzir algumas definições e demonstrar uma proposição, conforme [2].

**Definição 1.7** Sejam  $\Delta \subset \mathbb{R}^2$  um aberto e  $X : \Delta \rightarrow \mathbb{R}^2$  um campo vetorial de classe  $C^1$ . Dizemos que uma órbita periódica  $\gamma$  de  $X$  é um **ciclo limite** se existir uma vizinhança  $V$  de  $\gamma$  tal que  $\gamma$  é um órbita fechada de  $X$  e intercepta  $V$ .

**Definição 1.8** Sejam  $\Delta \subset \mathbb{R}^2$  um aberto,  $X : \Delta \rightarrow \mathbb{R}^2$  um campo vetorial de classe  $C^1$  e  $\gamma$  uma órbita fechada de  $X$ . Denotamos  $\text{Ext}\gamma$  e  $\text{Int}\gamma$  como, respectivamente, o **Exterior da Órbita**  $\gamma$  e **Interior da Órbita**  $\gamma$ .

**Proposição 1.1** Seja  $\varphi$  a solução do sistema  $\dot{x} = f(x)$ . Nas condições das definições acima, existem apenas três tipos de ciclos limites:

- (a) **Atrator**, quando  $\lim_{t \rightarrow \infty} d(\varphi(t, q), \gamma) = 0$ , para todo  $q \in V$
- (b) **Repulsor**, quando  $\lim_{t \rightarrow -\infty} d(\varphi(t, q), \gamma) = 0$ , para todo  $q \in V$
- (c) **Semi-estável**, quando  $\lim_{t \rightarrow \infty} d(\varphi(t, q), \gamma) = 0$ , para todo  $q \in V \cap \text{Ext}\gamma$  e  $\lim_{t \rightarrow -\infty} d(\varphi(t, q), \gamma) = 0$ , para todo  $q \in V \cap \text{Int}\gamma$ , ou o contrário.

*Demonstração:* Suponhamos que em  $X$  temos uma  $V$ -vizinhança que não contém singularidades. Seja  $p \in \Sigma$  uma seção transversal a  $\gamma$  passando por  $p$  e  $\pi : \Sigma_0 \rightarrow \Sigma$  a função de Poincaré, conforme a Figura 9.

Vamos considerar o sentido positivo de  $\Sigma$  de  $\text{Ext}\gamma$  para  $\text{Int}\gamma$ . Dado  $q \in \Sigma \cap \text{Ext}\gamma$ , temos que  $\pi(q) > q$  ou  $\pi(q) < q$ . Vamos analisar o caso quando  $\pi(q) > q$ .

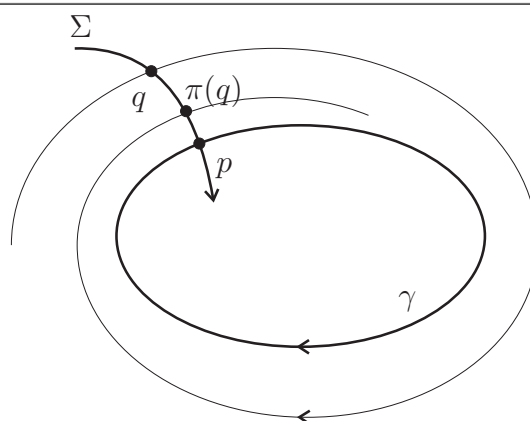


Figura 9: Seção transversal e aplicação de primeiro retorno.

Considere a região  $A$  limitada por  $\gamma$ , o arco da trajetória  $\widehat{q\pi(q)}$  e pelo segmento  $\overline{q\pi(q)} \subset \Sigma$ . Dado  $x \in A$ ,  $\varphi(t, x) \in A$  para todo  $t \geq 0$ , isto é, a região  $A$  é o homeomorfa a uma anel e positivamente invariante devido a unicidade e a orientação das órbitas. Além disso,  $\varphi(t, x)$  intercepta  $\Sigma$  numa sequência monótona  $x_n$  que converge para  $p$ . Logo, o ciclo limite é atrator quando  $\lim_{t \rightarrow \infty} d(\varphi(t, q), \gamma) = 0$ .

Se  $\pi(q) < q$ , basta considerar o campo  $-X$  e repetir o mesmo raciocínio para concluir que um ciclo limite é repulsor quando  $\lim_{t \rightarrow -\infty} d(\varphi(t, q), \gamma) = 0$ .

As mesmas considerações podem ser feitas em  $\text{Int}\gamma$ . Combinando todas as possibilidades, provamos a proposição.  $\square$

**Observação 1.3** Temos que  $\gamma$  é um ciclo limite se, e somente se,  $p$  é um ponto fixo isolado de  $\pi$ . Assim, temos

- (a)  $\gamma$  é **Atrator** se, e somente se,  $|\pi(x) - p| < |x - p|$ , para todo  $x \neq p$  próximo de  $p$ .
- (b)  $\gamma$  é **Repulsor** se, e somente se,  $|\pi(x) - p| > |x - p|$ , para todo  $x \neq p$  próximo de  $p$ .
- (c)  $\gamma$  é **Semi-estável** se, e somente se,  $|\pi(x) - p| < |x - p|$ , para todo  $x \in \Sigma \cap \text{Ext}\gamma$  próximo de  $p$  e  $|\pi(x) - p| > |x - p|$ , para todo  $x \in \Sigma \cap \text{Int}\gamma$  próximo de  $p$ , ou o contrário.

Veja a Figura 10

Pelo Teorema do Valor Médio, temos  $\pi'(p) = \lim_{x \rightarrow p} \frac{|\pi(x) - \pi(p)|}{|x - p|} = \lim_{x \rightarrow p} \frac{|\pi(x) - p|}{|x - p|}$ . Assim, se  $\pi'(x) > 1$ , então  $\gamma$  é repulsor, e se  $\pi'(x) < 1$ , então  $\gamma$  é atrator.

### 1.3 Derivadas da Transformação de Poincaré

O Teorema a seguir estabelece uma condição suficiente para classificar uma órbita periódica.

**Teorema 1.6** Sejam  $\Delta \subset \mathbb{R}^2$  um aberto e  $X = (X_1, X_2) : \Delta \rightarrow \mathbb{R}^2$  um campo vetorial de classe  $C^1$ . Seja  $\gamma$  uma órbita periódica de  $X$  de período  $T$  e  $\pi : \Sigma \rightarrow \Sigma$  a transformação de Poincaré numa seção transversal  $\Sigma$  a  $\gamma$  passando por  $p$ . Então,

$$\pi'(p) = \exp\left[\int_0^T \text{div}X(\gamma(t))dt\right],$$

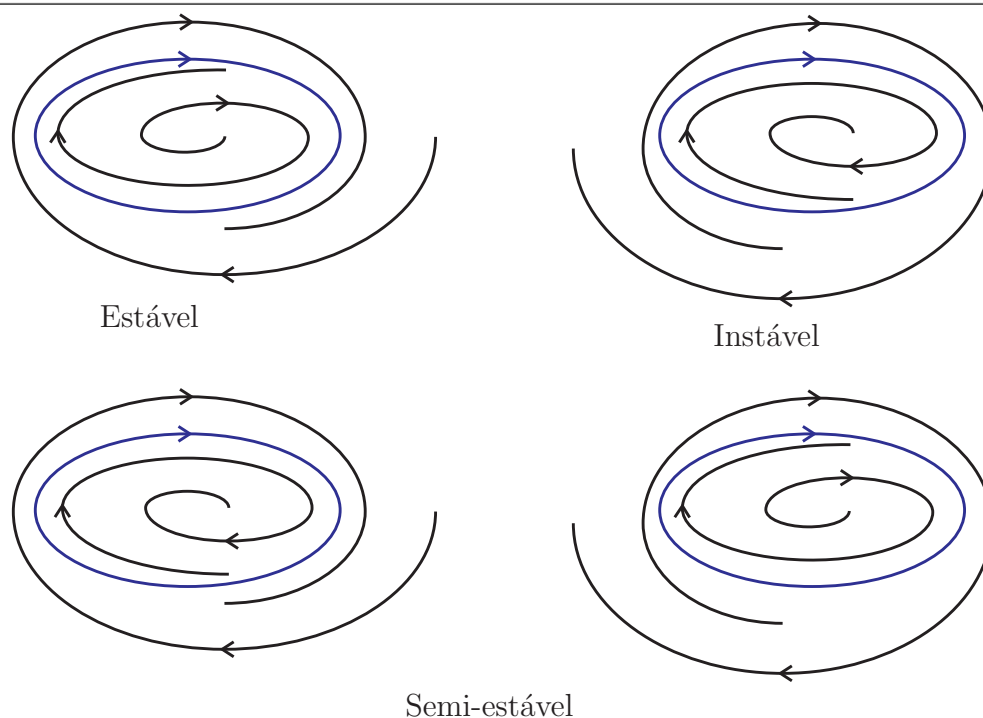


Figura 10: Ciclos limites

onde  $\text{div}X(x) = D_1X_1(x) + D_2X_2(x)$ . Se  $\int_0^T \text{div}X(\gamma(t))dt < 0$ , então  $\gamma$  é atrator, e se  $\int_0^T \text{div}X(\gamma(t))dt > 0$ , então  $\gamma$  é repulsor.

A seguir, vamos enunciar o **Teorema de Poincaré-Bendixson** conforme [2] e demonstrá-lo. Ele é um resultado de importância ímpar e que serve para classificar o conjunto limite de trajetórias.

**Teorema 1.7 (O Teorema de Poincaré-Bendixson):** Sejam  $\Delta \subset \mathbb{R}^2$  um aberto,  $X : \Delta \rightarrow \mathbb{R}^2$  um campo vetorial de classe  $C^k$  com  $k \geq 1$ ,  $\varphi(t) = \varphi(t, p)$  uma curva integral e a semiórbita positiva  $\gamma_p^+ = \{\varphi(t, p) / t \geq 0\}$  tal que esteja contida num compacto  $K \subset \Delta$ .

Suponha que  $X$  possua um número finito de singularidades em  $\omega(p)$ . Temos três possibilidades:

- (a) Se  $\omega(p)$  contém somente pontos regulares, então  $\omega(p)$  é uma órbita periódica.
- (b) Se  $\omega(p)$  contém pontos regulares e singulares, então  $\omega(p)$  é um conjunto de órbitas, cada uma das quais tende a um desses pontos singulares quando  $t \rightarrow \pm\infty$ .
- (c) Se  $\omega(p)$  não contém pontos regulares, então  $\omega(p)$  é um ponto singular.

Demonstração: Antes de provar este teorema, vamos apresentar e demonstrar quatro Lemas.

**Lema 1.1** Seja  $\Sigma$  uma seção transversal a  $X$  e  $\gamma = \{\varphi(t)\}$  uma órbita de  $X$ . Se  $p \in \Sigma \cap \omega(\gamma)$ , então  $p$  pode ser expresso como limte de uma sequência de pontos  $\varphi(t_n)$  onde  $t_n \rightarrow \infty$

Demonstração: Por hipótese, sabemos que  $\gamma = \{\varphi(t)\} = \{\varphi(t, q)\}$  e  $p \in \Sigma \cap \omega(\gamma)$ . Consideremos uma vizinhança  $V$  de  $p$  e a aplicação  $\tau : V \rightarrow \mathbb{R}$ . Como  $p \in \omega(\gamma)$ , existe uma sequência  $(\tilde{t}_n)$  tal que  $(\tilde{t}_n) \rightarrow \infty$  e  $\varphi(\tilde{t}_n) \rightarrow p$  quando  $n \rightarrow \infty$ . Dessa forma, existe  $n_0 \in \mathbb{N}$  tal que  $\varphi(\tilde{t}_n) \in V$ , para todo  $n \geq n_0$ .

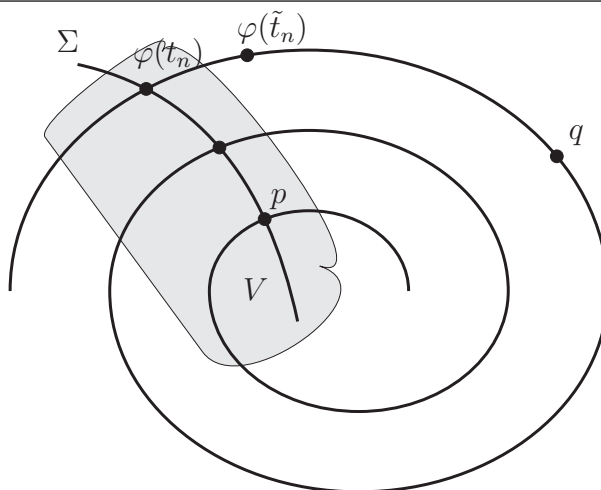


Figura 11: Ilustração do Lema (1.1)

Se  $t_n = \tilde{t}_n + \tau(\varphi(\tilde{t}_n))$ , temos

$$\varphi(t_n) = \varphi(t_n, q) = \varphi(\tilde{t}_n + \tau(\varphi(\tilde{t}_n)), q) = \varphi(\tau(\varphi(\tilde{t}_n)), \varphi(\tilde{t}_n)),$$

e, por definição de  $\tau$ , segue que  $\varphi(\tilde{t}_n) \in \Sigma$ . Como a aplicação  $\tau$  é contínua, obtemos

$$\lim \varphi(t_n) = \lim \varphi(\tau(\varphi(\tilde{t}_n)), \varphi(\tilde{t}_n)) = \varphi(\tau(\lim \varphi(\tilde{t}_n)), \lim \varphi(\tilde{t}_n)) = \varphi(\tau(p), p) = \varphi(0, p) = p.$$

□

**Observação 1.4** Note que a seção transversal  $\Sigma$  possui dimensão  $k = 1$ , pois estamos considerando um campo vetorial  $X \subset \mathbb{R}^2$ . Dessa forma, localmente  $\Sigma$  é a imagem difeomorfa de um intervalo de  $\mathbb{R}$  e assim,  $\Sigma$  possui uma ordenação total induzida pela ordenação total do intervalo. Por isso podemos falar em seqüências monótonas em  $\Sigma$ .

**Lema 1.2** Seja  $\Sigma$  uma seção transversal a  $X \subset \Delta$ . Se  $\gamma$  é uma órbita de  $X$  e  $p \in \Sigma \cap \gamma$ , então  $\gamma_p^+ = \{\varphi(t, p) / t > 0\}$  intercepta  $\Sigma$  em uma seqüência monótona  $p_1, p_2, \dots, p_n, \dots$ .

Demonstração: Seja  $D = \{t \in \mathbb{R}^+ / \varphi(t, p) \in \Sigma\}$ . Decorre do Teorema do Fluxo Tubular que  $D$  é discreto. Portanto, podemos ordenar o conjunto

$$D = \{0 < t_1 < t_2 < \dots < t_n < \dots\}.$$

Seja  $p_1 = p$  e definimos  $p_n = \varphi(t_{n-1}, p)$ . Se  $p_1 = p_2$ , então  $\gamma$  é uma trajetória fechada de período  $\tau = t_1$  e  $p_n = p$  para todo  $n$ . Se  $p_1 \neq p_2$ , vamos tomar  $p_1 < p_2$  e, caso exista  $p_3$ , vamos mostrar que  $p_3 > p_2$ .

Orientamos a seção transversal  $\Sigma$  conforme a Figura 12 (a). Observe que, como  $\Sigma$  é conexo e o campo  $X$  é contínuo, as órbitas de  $X$  cruzam  $\Sigma$  sempre no mesmo sentido, como mostra a Figura 12 (b).

Consideremos agora a Curva de Jordan formada pela união do seguimento  $\overline{p_1 p_2} \subset \Sigma$  com o arco  $\widehat{p_1 p_2}$ , como na Figura 13.

A partir de  $p_2$ , a órbita  $\gamma$  fica contida na região  $S$  limitada pela curva (isto é, para valores de  $t > t_1$ ). De fato, ela não pode interceptar o arco  $\widehat{p_1 p_2}$  devido à unicidade das órbitas e não pode interceptar o segmento  $\overline{p_1 p_2}$  porque iria contrariar o sentido do fluxo, como mostra a Figura 14.

Assim, caso exista  $p_3$ , teremos  $p_1 < p_2 < p_3$ . Analogamente, obteremos  $p_1 < p_2 < \dots < p_n < \dots$  e, portanto,  $\{p_n\}$  é uma seqüência monótona. O raciocínio é análogo para  $p_1 > p_2$ . □

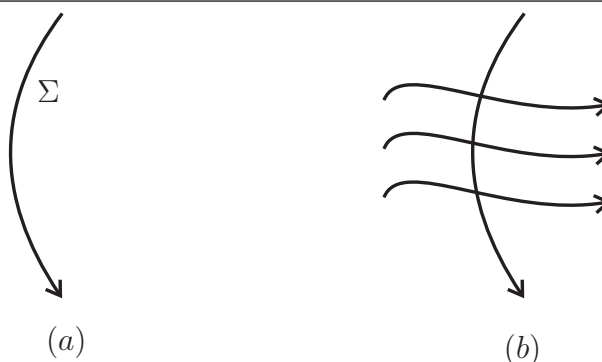


Figura 12: Seção transversal.

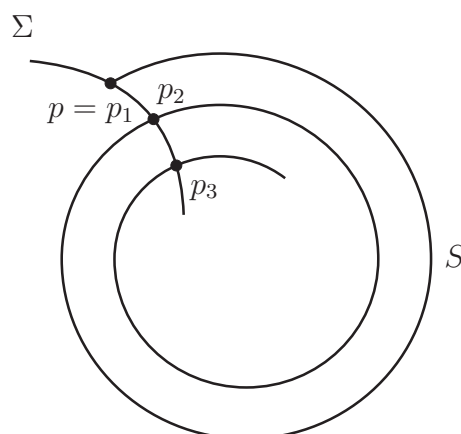


Figura 13: Curva de Jordan.

**Lema 1.3** Se  $\Sigma$  é uma seção transversal ao campo  $X$  e  $p \in \Delta$ , então  $\Sigma$  intercepta  $\omega(p)$  no máximo em um único ponto.

Demonstração: O conjunto de pontos  $\gamma_p^+$  em  $\Sigma$  tem no máximo um ponto limite, pois pelo Lema (1.2) o mesmo forma uma sequência monótona. Daí,  $\lim_{t_n \rightarrow \infty} \varphi(t_n) = p$ .  $\square$

**Lema 1.4** Sejam  $p \in \Delta$  com  $\gamma_p^+$  contida num compacto e  $\gamma$  uma órbita de  $X$  com  $\gamma \subset \omega(p)$ . Se  $\omega(\gamma)$  contém pontos regulares, então  $\gamma$  é uma órbita fechada e  $\omega(p) = \gamma$ .

Demonstração: Sejam  $q \in \omega(\gamma)$  um ponto regular,  $V$  uma vizinhança de  $q$  e  $\Sigma_q$  a seção transversal correspondente. Pelo Lema (1.1), existe uma sequência  $t_n \rightarrow \infty$  tal que  $\gamma(t_n) \in \Sigma_q$  e  $\gamma(t_n) \rightarrow q \in \omega(\gamma)$ . Pelo Lema (1.3), a sequência  $\{\gamma(t_n)\}$  reduz-se a um ponto e isso prova que  $\gamma$  é periódica.

Provemos agora que  $\gamma = \omega(p)$ . Como  $\gamma(p)$  é conexo e  $\gamma$  é um conjunto fechado e não vazio, basta mostrar, por absurdo, que  $\gamma$  é aberto em  $\omega(p)$ .

Sejam  $\bar{p} \in \gamma$ ,  $V_{\bar{p}}$  uma vizinhança de  $\bar{p}$  em  $\gamma$  e  $\Sigma_{\bar{p}}$  a seção transversal correspondente. Vamos mostrar que  $V_{\bar{p}} \cap \gamma = V_{\bar{p}} \cap \omega(p)$ . Obviamente,  $V_{\bar{p}} \cap \gamma \subset V_{\bar{p}} \cap \omega(p)$ . Por contradição, suponhamos que exista  $\bar{q} \in V_{\bar{p}} \cap \omega(p)$  tal que  $\bar{q}$  não pertence a  $\gamma$ . Pelo **Teorema do Fluxo Tubular** e pela Invariância de  $\omega(p)$ , existe  $t \in \mathbb{R}$  tal que  $\varphi(t, \bar{q}) \in \omega(p) \cap \Sigma_{\bar{p}}$  e  $\varphi(t, \bar{q}) \neq \bar{p}$ . Daí, existem dois pontos distintos de  $\omega(p)$  em  $\Sigma_{\bar{p}}$ , o que é impossível pelo Lema (1.3), logo  $V_{\bar{p}} \cap \gamma = V_{\bar{p}} \cap \omega(p)$ .

Sendo  $U = \bigcup_{\bar{p} \in \gamma} V_{\bar{p}}$  é aberto em  $\omega(p)$ , então  $\gamma \subset \omega(p)$  e  $U \cap \omega(p) = U \cap \gamma = \gamma$ . Dessa forma,  $\gamma$  é aberto em  $\omega(p)$ .  $\square$

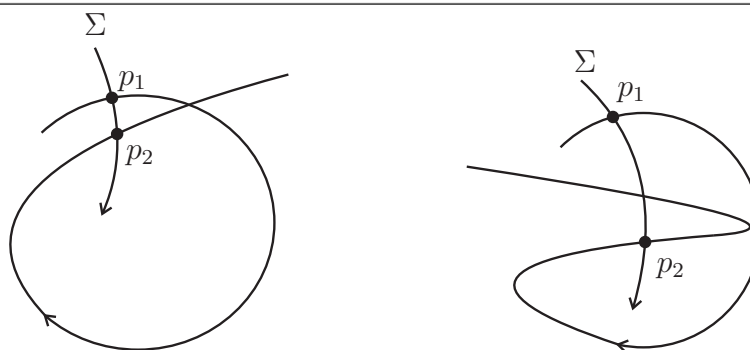


Figura 14: Impossibilidades

Agora, podemos continuar com demonstração do Teorema.

1. Se ocorre a hipótese (a) e  $q \in \omega(p)$ , então a órbita  $\gamma_q \subset \omega(p)$ . Sendo  $\omega(p)$  compacto resulta que  $\omega(\gamma_q) \neq \emptyset$ . Segue do Lema (1.4) que  $\omega(p) = \gamma_q$ , que é uma órbita periódica. Veja a Figura 15.

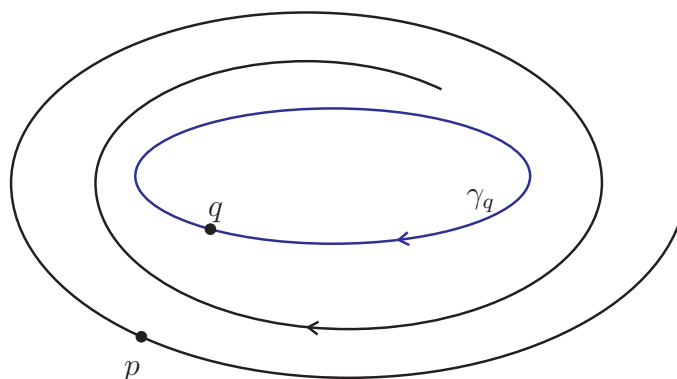


Figura 15: Órbita Periódica.

2. Se ocorre a hipótese (b), temos que se  $\gamma$  for reduzido a um único ponto singular, então  $\omega(\gamma)$  é um ponto singular. Caso  $\gamma$  não for reduzido a pontos singulares (ou seja,  $\omega(p)$  contém pontos regulares), então  $\omega(\gamma)$  contém apenas pontos singulares, pois se tiver apenas pontos regulares, pelo Lema (1.4) seria uma órbita fechada, o que é um absurdo. Mais ainda, reduz-se a um único ponto singular, pois é conexo. Veja a Figura 16.
3. Se ocorre a hipótese (c), temos que a órbita irá convergir em um compacto, pois toda trajetória contida em um compacto possui uma subsequência que converge. Como  $\omega(p)$  é conexo, a trajetória converge para um único ponto singular. Veja a Figura 17.

□

Vamos usar o Teorema acima para analisar o exemplo proposto por [2].

**Exemplo 1.2** Seja  $X$  um campo vetorial de classe  $C^1$  em  $\mathbb{R}^2$  que não possui pontos singulares em  $B_{r,R} = \{(x,y)/r^2 < x^2 + y^2 < R^2\}$ , com  $0 < r < R$ . Se  $X$  aponta para o interior de  $B_{r,R}$  em todo ponto de sua fronteira, então  $X$  tem uma órbita periódica em  $B_{r,R}$ , pois neste caso se a órbita não fosse periódica, ela estaria limitada em um compacto  $K \subset B_{r,R}$  que contém um ponto singular, o que é um absurdo. O retrato de fase deste exemplo está na Figura 18.

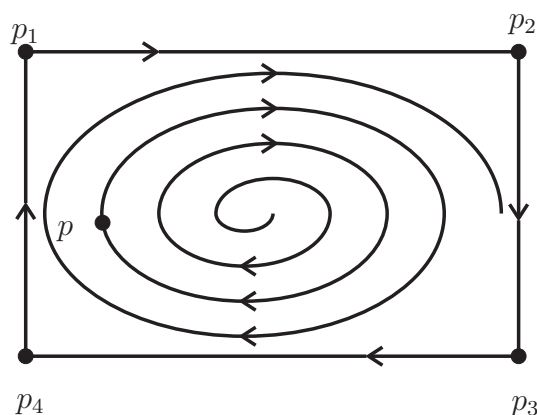


Figura 16:  $\omega(p)$  é um conjunto de órbitas que tendem aos pontos singulares quando  $t \rightarrow \pm\infty$

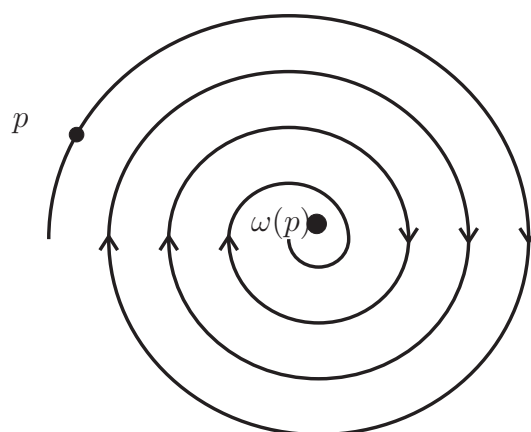


Figura 17: Convergência.

## 1.4 Pontos Singulares no Interior de Uma Órbita Periódica

O Teorema a seguir é uma aplicação do Teorema de Poincaré-Bendixson, como pode ser visto em [2].

**Teorema 1.8** *Seja  $X$  um campo vetorial de classe  $C^1$  num conjunto aberto  $\Delta \subset \mathbb{R}^2$ . Se  $\gamma$  é uma órbita fechada de  $X$  tal que  $\text{Int}\gamma \subset \Delta$ , então existe um ponto singular de  $X$  contido em  $\text{Int}\gamma$ .*

*Demonstração: Suponhamos, por absurdo, que não existem pontos singulares em  $\text{Int}\gamma$ . Considerando o conjunto  $\Gamma$  de órbitas fechadas de  $X$  contidas em  $\overline{\text{Int}\gamma}$ , ordenadas segundo a seguinte ordem*

$$\gamma_1 \leq \gamma_2 \rightarrow \overline{\text{Int}\gamma_1} \supseteq \overline{\text{Int}\gamma_2},$$

*mostraremos que todo subconjunto  $S$  totalmente ordenado de  $\Gamma$  admite uma cota superior, isto é, um elemento maior ou igual que qualquer elemento de  $S$ . Um conjunto nessas condições chama-se indutivo.*

*De fato, seja  $\sigma = \{\cap \overline{\text{Int}\gamma_i} / \gamma_i \in S\}$ . Note que  $\sigma \neq \emptyset$ , pois cada  $\overline{\text{Int}\gamma_i}$  é compacto e a família  $\{\cap \overline{\text{Int}\gamma_i} / \gamma_i \in S\}$  tem a propriedade da Intersecção Finita (qualquer intersecção finita de elemento da família é não vazia).*

*Seja  $q \in \sigma$ . Pelo Teorema (1.7),  $\omega(q)$  é uma órbita periódica contida em  $\sigma$ , pois este conjunto é invariante por  $X$  e não contém pontos singulares. Esta órbita é uma cota superior de  $S$*

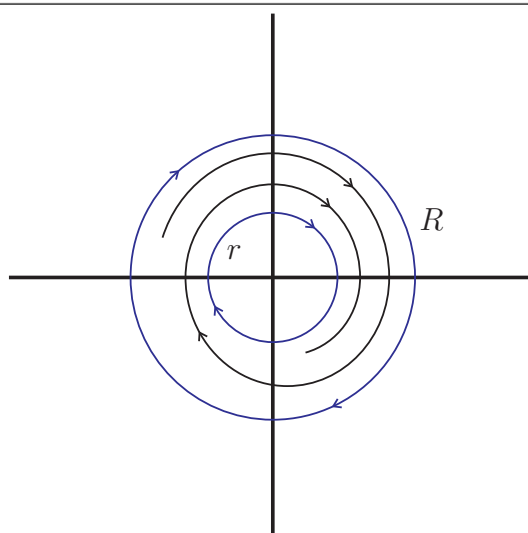


Figura 18: Figura Exemplo 1.2.

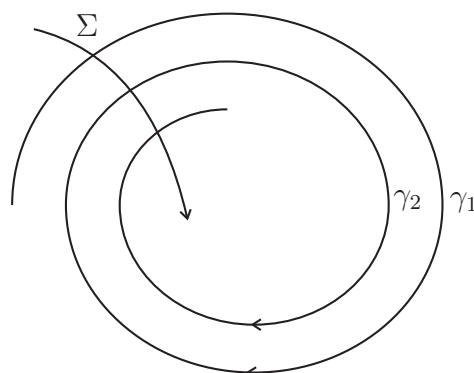


Figura 19: O conjunto  $\Gamma$  de órbitas fechadas de  $X$

O Lema de Zorn nos diz que se em um conjunto não vazio e parcialmente ordenado e todo subconjunto totalmente ordenado tem uma cota superior, então o conjunto tem um elemento maximal. Seja  $\mu$  o elemento maximal. Isto quer dizer que não existe nenhuma órbita fechada de  $\Gamma$  contida em  $\text{Int}\mu$ . Por outro lado,  $p \in \text{Int}\mu$  e  $\alpha(p), \omega(p)$  são órbitas fechadas pelo Teorema de Poincaré-Bendixson (pois não possuem pontos singulares). Como  $\alpha(p)$  e  $\omega(p)$  não podem ser iguais a  $\mu$ , um deles estará contido em  $\text{Int}\mu$ , o que é um absurdo, pois  $\mu$  é elemento maximal. Esta contradição prova que devem existir pontos singulares em  $\text{Int}\gamma$ .  $\square$

## Referências

- [1] PERKO, L., *Differential equations and dynamical systems*, Texts in Applied Mathematics, 7, Springer-Verlag, New York, 1991.
- [2] SOTOMAYOR, J., *Lições de Equações Diferenciais Ordinárias*, Projeto Euclides, IMPA, Rio de Janeiro, 1979.